

А.Я.Григоренко, С.Н.Яремченко

**РАСЧЕТ НАПРЯЖЕННО-ДЕФОРМИРОВАННОГО СОСТОЯНИЯ
НЕОДНОРОДНЫХ ПОЛЫХ ЦИЛИНДРОВ В ПРОСТРАНСТВЕННОЙ
ПОСТАНОВКЕ НА ОСНОВАНИИ РАЗЛИЧНЫХ ПОДХОДОВ**

*Институт механики им. С.П. Тимошенко НАНУ,
ул. Нестерова, 3, 03057, Киев, Украина; e-mail: ayagrigenko1991@gmail.com*

Abstract. The equations of three-dimensional theory of elasticity is used for a study of the stress-strain state in an inhomogeneous hollow cylinder with rigidly clamped ends. The corresponding problem is solved by the spline-approximation and finite elements methods. The two dimension splines are used to reduce the system of partial differential equations to a system of ordinary differential equations of higher order for the radial coordinate, which is then solved by using the stable discrete orthogonalization method. A comparison of results obtained by the spline-approximation and finite elements method for an inhomogeneous unclosed cylinder with increasing or decreasing Young's module is presented.

Keywords: stress-strain state, three-dimensional theory of elasticity, hollow cylinder, finite length, spline-collocation, finite element method.

Введение.

Исследование механического поведения тел, изготовленных из материалов с плавно изменяющимися характеристиками (функционально-градиентных материалов), представляет интерес для исследователей, о чем свидетельствуют многочисленные публикации, например [2 – 4, 14 – 16].

В данной статье рассмотрено неосесимметричное напряженно-деформированное состояние (НДС) цилиндрических оболочек с изменяющимся вдоль радиуса модулем упругости, используя метод сплайн-коллокации и метод конечных элементов.

Осесимметричные задачи для неоднородных цилиндров рассмотрены в [6, 8] для неоднородного полого шара – в [7]. Некоторые исследования замкнутых цилиндров в трехмерной постановке проведены в [9, 13]; при этом для разделения переменных по окружной координате использованы ряды Фурье, а для сведения полученных двумерных задач к одномерным использованы сплайны. Полученная при этом одномерная задача решена методом дискретной ортогонализации. В [10, 11] для сведения двумерных задач к одномерным используются дискретные ряды Фурье.

Поскольку для незамкнутого цилиндра такие подходы реализовать невозможно, здесь для сведения задачи к одномерной вдоль радиальной координаты использованы двумерные сплайны, как это было сделано в [5] для задачи Ламе в декартовых координатах. Для решения поставленной задачи методом конечных элементов выбраны восьмиузловые и двенадцатиузловые элементы в форме параллелепипедов [1].

1. Основные соотношения.

Рассмотрим полый ортотропный цилиндр с внутренним радиусом $R - H$, внешним радиусом $R + H$ (R – радиус срединной поверхности, $2H$ – толщина цилиндра) и длиной L в цилиндрической системе координат r, θ, z . Исследуем неосесимметричные цилиндры; в этом случае можно полагать, что $0 \leq \theta \leq \theta_e$. НДС такого цилиндра описывают [8]: соотношения Коши –

$$e_r = \frac{\partial u_r}{\partial r}; \quad e_\theta = \frac{1}{r} \left(u_r + \frac{\partial u_\theta}{\partial \theta} \right); \quad e_z = \frac{\partial u_z}{\partial z};$$

$$2e_{rz} = \frac{\partial u_r}{\partial z} + \frac{\partial u_z}{\partial r}; \quad 2e_{r\theta} = \frac{\partial u_\theta}{\partial r} + \frac{1}{r} \left(\frac{\partial u_r}{\partial \theta} - u_\theta \right); \quad 2e_{\theta z} = \frac{\partial u_\theta}{\partial z} + \frac{1}{r} \frac{\partial u_z}{\partial \theta}; \quad (1)$$

закон Гука –

$$\sigma_r = c_{11}e_r + c_{12}e_\theta + c_{13}e_z; \quad \sigma_\theta = c_{12}e_r + c_{22}e_\theta + c_{23}e_z;$$

$$\sigma_z = c_{13}e_r + c_{23}e_\theta + c_{33}e_z; \quad \sigma_{r\theta} = 2c_{44}e_{r\theta}; \quad \sigma_{rz} = 2c_{55}e_{rz}; \quad \sigma_{\theta z} = 2c_{66}e_{\theta z}, \quad (2)$$

где элементы матрицы жесткости $c_{ij} = c_{ij}(r)$ – непрерывные и дифференцируемые функции координаты r ;

уравнения равновесия –

$$\frac{\partial \sigma_r}{\partial r} + \frac{1}{r} \left(\frac{\partial \sigma_{r\theta}}{\partial \theta} + \sigma_r - \sigma_\theta \right) + \frac{\partial \sigma_{rz}}{\partial z} = 0; \quad \frac{\partial \sigma_{r\theta}}{\partial r} + \frac{1}{r} \left(\frac{\partial \sigma_\theta}{\partial \theta} + 2\sigma_{r\theta} \right) + \frac{\partial \sigma_{\theta z}}{\partial z} = 0;$$

$$\frac{\partial \sigma_{rz}}{\partial r} + \frac{1}{r} \left(\frac{\partial \sigma_{\theta z}}{\partial \theta} + 2\sigma_{rz} \right) + \frac{\partial \sigma_z}{\partial z} = 0, \quad (3)$$

где u_r, u_θ, u_z – проекции вектора перемещения точек цилиндра в направлениях r, θ и z ; e_r, e_θ, e_z – относительные линейные деформации в направлении координатных линий; $e_{r\theta}, e_{rz}, e_{\theta z}$ – деформации сдвига; $\sigma_r, \sigma_\theta, \sigma_z$ – нормальные напряжения; $\sigma_{r\theta}, \sigma_{rz}, \sigma_{\theta z}$ – касательные напряжения.

В случае изотропного тела элементы матрицы жесткости c_{ij} принимают вид

$$c_{11} = c_{22} = c_{33} = \lambda + 2\mu; \quad c_{12} = c_{13} = c_{23} = \lambda; \quad c_{44} = \mu; \quad c_{55} = \mu; \quad c_{66} = \mu, \quad (4)$$

где $\mu = E/(2(1+\nu))$, $\lambda = (2\mu\nu)/(1-2\nu)$, а ν и E – коэффициент Пуассона и модуль Юнга.

Граничные условия на внутренней ($r = R - H$) и внешней ($r = R + H$) поверхностях цилиндра

$$\sigma_r \Big|_{r=R-H} = q_1; \quad \sigma_r \Big|_{r=R+H} = q_2; \quad \sigma_{rz} \Big|_{r=R\pm H} = 0; \quad \sigma_{\theta z} \Big|_{r=R\pm H} = 0. \quad (5)$$

В этом случае потенциальную энергию деформации цилиндра, ограниченного плоскостями $\theta = 0$ и $\theta = \theta_e$ можно записать так:

$$\Pi = \int_0^L \int_0^{\theta_e} \int_{R-H}^{R+H} \left\{ \frac{1}{2} (\sigma_r e_r + \sigma_z e_z + \sigma_\theta e_\theta) + \sigma_{r\theta} e_{r\theta} + \sigma_{rz} e_{rz} + \sigma_{\theta z} e_{\theta z} \right\} r dz d\theta dr +$$

$$+ (R-H) \int_0^L \int_0^{\theta_e} q_1 u_r dz d\theta - (R+H) \int_0^L \int_0^{\theta_e} q_2 u_r dz d\theta. \quad (6)$$

Если на торцах цилиндра при $z = 0$ и $z = L$ или на границе $\theta = \text{const}$ цилиндр жестко закреплен, то

$$u_r = 0; \quad u_\theta = 0; \quad u_z = 0. \quad (7)$$

Условия симметрии для контура $\theta = \text{const}$.:

$$\frac{\partial u_r}{\partial \theta} = 0; \quad u_\theta = 0; \quad \frac{\partial u_z}{\partial \theta} = 0. \quad (8)$$

Для $z = \text{const}$ имеем

$$\frac{\partial u_r}{\partial z} = 0; \quad \frac{\partial u_\theta}{\partial z} = 0; \quad u_z = 0. \quad (9)$$

2. Методы решения.

2.1. Метод сплайн-коллокации. Используя (1) – (3), получены разрешающие уравнения в перемещениях в таком виде:

$$\begin{aligned}\frac{\partial^2 u_r}{\partial r^2} &= a_{11} u_r + a_{12} \frac{\partial^2 u_r}{\partial \theta^2} + a_{13} \frac{\partial^2 u_r}{\partial z^2} + a_{14} \frac{\partial u_r}{\partial r} + a_{15} \frac{\partial u_\theta}{\partial \theta} + a_{16} \frac{\partial u_\theta}{\partial r \partial \theta} + a_{17} \frac{\partial u_z}{\partial z} + a_{18} \frac{\partial^2 u_z}{\partial r \partial z}; \\ \frac{\partial^2 u_r}{\partial r^2} &= a_{21} \frac{\partial u_r}{\partial \theta} + a_{22} \frac{\partial^2 u_r}{\partial r \partial \theta} + a_{23} u_\theta + a_{24} \frac{\partial^2 u_\theta}{\partial \theta^2} + a_{25} \frac{\partial u_\theta}{\partial z^2} + a_{26} \frac{\partial u_\theta}{\partial r} + a_{27} \frac{\partial^2 u_z}{\partial \theta \partial z}; \\ \frac{\partial^2 u_z}{\partial r^2} &= a_{31} \frac{\partial u_r}{\partial z} + a_{32} \frac{\partial^2 u_r}{\partial z \partial r} + a_{33} \frac{\partial^2 u_\theta}{\partial \theta \partial z} + a_{34} \frac{\partial^2 u_z}{\partial \theta^2} + a_{35} \frac{\partial^2 u_z}{\partial z^2} + a_{36} \frac{\partial u_z}{\partial r},\end{aligned}\quad (10)$$

где коэффициенты $a_{kl} = a_{kl}(r)$ определяются согласно формул:

$$\begin{aligned}a_{11} &= \frac{c_{22} - c'_{12} r}{c_{11} r^2}; \quad a_{12} = \frac{c_{44}}{c_{11} r^2}; \quad a_{13} = -\frac{c_{55}}{c_{11}}; \quad a_{14} = -\frac{c'_{11} r + c_{11}}{c_{11} r}; \quad a_{15} = \frac{c_{44} + c_{22} - c'_{12} r}{c_{11} r^2}; \\ a_{16} &= -\frac{c_{12} + c_{44}}{c_{11} r}; \quad a_{17} = \frac{c_{23} - c_{12} - c'_{13} r}{c_{11} r}; \quad a_{18} = -\frac{c_{13} + c_{55}}{c_{11}}; \\ a_{21} &= -\frac{c'_{44} r + c_{44} + c_{22}}{c_{44} r^2}; \quad a_{22} = -\frac{c_{44} + c_{12}}{c_{44} r}; \quad a_{23} = -\frac{c'_{44} r + c_{44}}{c_{44} r^2}; \\ a_{24} &= -\frac{c_{22}}{c_{44} r^2}; \quad a_{25} = -\frac{c_{66}}{c_{44}}; \quad a_{26} = -\frac{c'_{44} r + c_{44}}{c_{44} r}; \quad a_{27} = -\frac{c_{23} + c_{66}}{c_{44} r}; \\ a_{31} &= -\frac{c'_{55} r + c_{55} + c_{23}}{c_{55} r}; \quad a_{32} = -\frac{c_{55} + c_{13}}{c_{55}}; \quad a_{33} = -\frac{c_{66} + c_{23}}{c_{55} r}; \\ a_{34} &= -\frac{c_{66}}{c_{55} r^2}; \quad a_{35} = -\frac{c_{33}}{c_{55}}; \quad a_{36} = -\frac{c'_{55} r + c_{55}}{c_{55} r}.\end{aligned}\quad (11)$$

Граничные условия на внутренней поверхности цилиндра имеют вид:

$$c_{11} \frac{\partial u_r}{\partial r} + \frac{c_{12}}{r} \left(u_r + \frac{\partial u_\theta}{\partial \theta} \right) + c_{13} \frac{\partial u_z}{\partial z} = q_1; \quad \frac{1}{r} \left(\frac{\partial u_r}{\partial \theta} - u_\theta \right) + \frac{\partial u_\theta}{\partial r} = 0; \quad \frac{\partial u_r}{\partial z} + \frac{\partial u_z}{\partial r} = 0. \quad (12)$$

Трехмерную краевую задачу (10) при соответствующих граничных условиях можно привести к одномерной с помощью метода сплайн-коллокации. Для этого разрешающие функции $u_r(r, \theta, z)$, $u_\theta(r, \theta, z)$, $u_z(r, \theta, z)$ представим в таком виде:

$$\begin{aligned}u_r &= \sum_{i=0}^M \sum_{j=0}^N u_{r_{ij}}(r) \varphi_i^{(r)}(\theta) \psi_j^{(r)}(z), \quad u_\theta = \sum_{i=0}^M \sum_{j=0}^N u_{\theta_{ij}}(r) \varphi_i^{(\theta)}(\theta) \psi_j^{(\theta)}(z), \\ u_z &= \sum_{i=0}^M \sum_{j=0}^N u_{z_{ij}}(r) \varphi_i^{(z)}(\theta) \psi_j^{(z)}(z),\end{aligned}\quad (13)$$

где $u_{r_{ij}}(r)$, $u_{\theta_{ij}}(r)$, $u_{z_{ij}}(r)$ – искомые функции переменной r , $\varphi_j^{(\alpha)}(\theta)$ ($i = 0, 1, \dots, M$; $\alpha = r, \theta, z$) и $\psi_j^{(\alpha)}(\theta)$ ($j = 0, 1, \dots, N$) – линейные комбинации нормализованных B-сплайнов на равномерных сетках $\theta_{-3} < \theta_{-2} < \theta_{-1} < 0 = \theta_0 < \theta_1 < \dots < \theta_M = \theta_e < \theta_{M+1} < \theta_{M+2} < \theta_{M+3}$ и $z_{-3} < z_{-2} < z_{-1} < 0 = z_0 < z_1 < \dots < z_N = L < z_{N+1} < z_{N+2} < z_{N+3}$, соответственно, учитывающие граничные условия при $\theta = 0$ и $\theta = \theta_e$, $z = 0$ и $z = L$. В систему (10)

входят производные по координатах θ и z не выше второго порядка и можно ограничиться аппроксимацией сплайн-функциями третьей степени.

Подставляя уравнения (13) в (10), требуем их удовлетворения в заданных точках коллокации $(\xi, \zeta) \in [0, \theta] \times [0, L]$. Примем, что M и N – нечетные, т.е. $M = 2m + 1$, $N = 2n + 1$. Выбираем точки коллокации так, что $\{\xi_{2i}, \xi_{2i+1}\} \in [\theta_{2i}, \theta_{2i+1}]$, $\{\zeta_{2i}, \zeta_{2i+1}\} \in [z_{2j}, z_{2j+1}]$, $(i = 0, 1, \dots, m)$, $(j = 0, 1, \dots, n)$; при этом $\xi_{2i} = \theta_{2i} + s_1 h_\theta$, $\xi_{2i+1} = \theta_{2i} + s_2 h_\theta$, $\zeta_{2j} = z_{2j} + s_1 h_z$, $\zeta_{2j+1} = z_{2j} + s_2 h_z$, где $s_1 = 1/2 - \sqrt{3}/6$, $s_2 = 1/2 + \sqrt{3}/6$, $h_\theta = \theta_i - \theta_{i-1}$, $h_z = z_i - z_{i-1}$. В этом случае количество точек аппроксимации $-(M+1)(N+1)$. В результате получим систему $6(M+1)(N+1)$ линейных дифференциальных уравнений относительно функций $u_{rij}, u'_{rij}, u_{\theta ij}, u'_{\theta ij}, u_{zij}, u'_{zij}$ ($i = 0, \dots, M; j = 0, \dots, N$).

Пусть $u_{rk} = u_{rij}, u_{\theta k} = u_{\theta ij}, u_{zk} = u_{zij}$, где $k = i(N+1) + j$ ($i = 0, \dots, M; j = 0, \dots, N; k = 0, \dots, M(N+1) + N$). Введем квадратные матрицы $\Phi^{(\alpha)}, \Phi_\theta^{(\alpha)}, \Phi_z^{(\alpha)}, \Phi_{\theta\theta}^{(\alpha)}, \Phi_{zz}^{(\alpha)}, \Phi_{\theta z}^{(\alpha)}$ ($\alpha = r, \theta, z$) размерности $(M+1)(N+1)$, компоненты которых вычисляются по формулам:

$$\Phi^{(\alpha)} : \phi_{i(N+1)+j, m(N+1)+n}^{(\alpha)} = \varphi_m^{(\alpha)}(\xi_i) \psi_n^{(\alpha)}(\zeta_j); \quad \Phi_\theta^{(\alpha)} : \phi_{i(N+1)+j, m(N+1)+n}^{(\alpha)\theta} = (\varphi_m^{(\alpha)})'(\xi_i) \psi_n^{(\alpha)}(\zeta_j);$$

$$\Phi_z^{(\alpha)} : \phi_{i(N+1)+j, m(N+1)+n}^{(\alpha)z} = \varphi_m^{(\alpha)}(\xi_i) (\psi_n^{(\alpha)})'(\zeta_j); \quad \Phi_{\theta\theta}^{(\alpha)} : \phi_{i(N+1)+j, m(N+1)+n}^{(\alpha)\theta\theta} = (\varphi_m^{(\alpha)})''(\xi_i) \psi_n^{(\alpha)}(\zeta_j)$$

и т. д. ($i, m = 0, \dots, M; j, n = 0, \dots, N$).

$$\text{Пусть } \bar{u}_r = \{u_{r0}, u_{r1}, \dots, u_{r, M(N+1)+N}\}^T; \quad \bar{u}_\theta = \{u_{\theta 0}, u_{\theta 1}, \dots, u_{\theta, M(N+1)+N}\}^T,$$

$\bar{u}_z = \{u_{z0}, u_{z1}, \dots, u_{z, M(N+1)+N}\}^T$; тогда разрешающую систему обыкновенных дифференциальных уравнений можно записать так:

$$\begin{aligned} \frac{d\bar{u}_r}{dr} &= \bar{u}'_r; \quad \frac{d\bar{u}_\theta}{dr} = \bar{u}'_\theta; \quad \frac{d\bar{u}_z}{dr} = \bar{u}'_z; \\ \frac{d\bar{u}'_r}{dr} &= (\Phi^{(r)})^{-1} (a_{11}\Phi^{(r)} + a_{12}\Phi_{\theta\theta}^{(r)} + a_{13}\Phi_{zz}^{(r)})\bar{u}_r + a_{14}\bar{u}'_r + \\ &+ a_{15}(\Phi^{(r)})^{-1}\Phi_\theta\bar{u}_\theta + a_{16}(\Phi^{(r)})^{-1}\Phi_\theta\bar{u}'_\theta + a_{17}(\Phi^{(r)})^{-1}\Phi_z\bar{u}_z + a_{18}(\Phi^{(r)})^{-1}\Phi_z\bar{u}'_z; \\ \frac{d\bar{u}'_\theta}{dr} &= a_{21}(\Phi^{(\theta)})^{-1}\Phi_\theta^{(r)}\bar{u}_r + a_{22}(\Phi^{(\theta)})^{-1}\Phi_\theta^{(r)}\bar{u}'_r + (\Phi^{(\theta)})^{-1}(a_{23}\Phi^{(\theta)} + \\ &+ a_{24}\Phi_{\theta\theta}^{(\theta)} + a_{25}\Phi_{zz}^{(\theta)})\bar{u}_\theta + a_{26}\bar{u}'_\theta + \bar{a}_{27}(\Phi^{(\theta)})^{-1}\Phi_{\theta z}^{(\theta)}\bar{u}_z; \\ \frac{d\bar{u}'_z}{dr} &= a_{31}(\Phi^{(z)})^{-1}\Phi_z^{(r)}\bar{u}_r + a_{32}(\Phi^{(z)})^{-1}\Phi_z^{(r)}\bar{u}'_r + a_{33}(\Phi^{(z)})^{-1}\Phi_{\theta z}^{(z)}\bar{u}_\theta + \\ &+ (\Phi^{(z)})^{-1}(a_{24}\Phi_{\theta\theta}^{(z)} + a_{25}\Phi_{zz}^{(z)})\bar{u}_z + a_{26}\bar{u}'_z. \end{aligned} \quad (14)$$

Подставив (13) в (12) и удовлетворив уравнения в точках коллокации, получим граничные условия для (14):

$$c_{11}\Phi^{(r)}\bar{u}'_r + \frac{c_{12}}{r}\left(\Phi^{(r)}\bar{u}_r + \Phi^{(0)}\bar{u}_\theta\right) + c_{13}\Phi^{(z)}u_z = \bar{q}_1;$$

$$\frac{1}{r}\left(\Phi^{(r)}\bar{u}_r - \Phi^{(0)}\bar{u}_\theta\right) + \Phi^{(0)}\bar{u}'_\theta = 0; \quad \Phi^{(r)}\bar{u}'_r + \Phi^{(z)}\bar{u}'_z = 0, \quad (15)$$

где \bar{q}_1 – вектор нагрузки размерности $(M+1)(N+1)$, вычисленный в точках коллокации.

Краевую задачу (14), (15) можно решить с помощью устойчивого численного метода дискретной ортогонализации.

2.2. Метод конечных элементов.

Из (1) – (3) и (6) можно получить выражение потенциальной энергии через перемещения:

$$\begin{aligned} \Pi = & \int_0^L \int_0^{\theta_0} \int_{R-H}^{R+H} \left\{ \frac{c_{11}r}{2} \left(\frac{\partial u_r}{\partial r} \right)^2 + \frac{c_{22}}{2r} \left(\frac{\partial u_\theta}{\partial \theta} \right)^2 + \frac{c_{33}r}{2} \left(\frac{\partial u_z}{\partial z} \right)^2 + \frac{c_{44}}{2r} \left(\frac{\partial u_r}{\partial \theta} \right)^2 + \frac{c_{44}r}{2} \left(\frac{\partial u_\theta}{\partial r} \right)^2 + \frac{c_{55}r}{2} \left(\frac{\partial u_r}{\partial z} \right)^2 + \right. \\ & + \frac{c_{55}r}{2} \left(\frac{\partial u_z}{\partial r} \right)^2 + \frac{c_{66}r}{2} \left(\frac{\partial u_\theta}{\partial z} \right)^2 + \frac{c_{66}}{2r} \left(\frac{\partial u_z}{\partial \theta} \right)^2 + c_{12} \frac{\partial u_r}{\partial r} \frac{\partial u_\theta}{\partial \theta} + c_{12} u_r \frac{\partial u_r}{\partial r} + \frac{c_{22}u_r}{r} \frac{\partial u_\theta}{\partial \theta} + \\ & + c_{23} \frac{\partial u_\theta}{\partial \theta} \frac{\partial u_z}{\partial z} + c_{23} u_r \frac{\partial u_z}{\partial z} - \frac{c_{44}u_\theta}{r} \frac{\partial u_r}{\partial \theta} + c_{44} \frac{\partial u_r}{\partial \theta} \frac{\partial u_\theta}{\partial r} - c_{44} u_\theta \frac{\partial u_\theta}{\partial r} + c_{13} r \frac{\partial u_r}{\partial r} \frac{\partial u_z}{\partial z} + \frac{c_{22}u_r^2}{2r} + \frac{c_{44}u_\theta^2}{2r} + \\ & \left. + c_{55}r \frac{\partial u_r}{\partial z} \frac{\partial u_z}{\partial r} + c_{66} \frac{\partial u_\theta}{\partial z} \frac{\partial u_z}{\partial \theta} \right\} dz d\theta dr + (R-H) \int_0^{\theta_0} \int_0^L q_1 u_r dz d\theta - (R+H) \int_0^{\theta_0} \int_0^L q_2 u_r dz d\theta. \end{aligned} \quad (16)$$

Тогда система уравнений для определения узловых перемещений u_{ri} , $u_{\theta i}$, u_{zi} в элементе, занимающем объем V и с площадью S грани, на которую действует нагрузка q_1 , будет иметь вид:

$$\begin{aligned} & \int_V \int \int \left[c_{11}r(u_{ri}N_{ri})N_{rj} + \frac{c_{44}}{r}(u_{ri}N_{\theta i})N_{\theta j} + c_{55}r(u_{ri}N_{zi})N_{zj} + c_{12}(u_{\theta i}N_{\theta i})N_{rj} + c_{12}((u_{ri}N_{ri})N_{rj} + \right. \\ & + (u_{ri}N_{ri})N_{rj}) + \frac{c_{22}}{r}(u_{\theta i}N_{\theta i})N_{rj} + c_{23}r(u_{zi}N_{zi})N_{rj} - \frac{c_{44}}{r}(u_{\theta i}N_{ri})N_{\theta j} + c_{44}((u_{\theta i}N_{ri})N_{\theta j} + \\ & \left. + c_{13}r(u_{zi}N_{zi})N_{rj}) + \frac{c_{22}}{r}(u_{ri}N_{ri})N_{rj} + c_{55}r(u_{zi}N_{ri})N_{zj} \right] dz d\theta dr = -(R-H) \int_S \int q_1 N_j dz d\theta; \\ & \int_V \int \int \left[\frac{c_{22}}{r}(u_{\theta i}N_{\theta i})N_{\theta j} + c_{44}r(u_{\theta i}N_{ri})N_{rj} + c_{66}r(u_{\theta i}N_{zi})N_{zj} + c_{12}(u_{ri}N_{ri})N_{\theta j} + \right. \\ & + \frac{c_{22}}{r}(u_{ri}N_{ri})N_{\theta j} + c_{23}r(u_{zi}N_{zi})N_{\theta j} - \frac{c_{44}}{r}(u_{ri}N_{\theta i})N_{rj} + c_{44}(u_{ri}N_{\theta i})N_{rj} - \\ & \left. - c_{44}((u_{\theta i}N_{ri})N_{rj} + (u_{\theta i}N_{ri})N_{rj}) + \frac{c_{44}}{r}(u_{\theta i}N_{ri})N_{rj} + c_{66}(u_{zi}N_{\theta i})N_{zj} \right] dz d\theta dr = 0; \\ & \int_V \int \int \left[c_{33}r(u_{zi}N_{zi})N_{zj} + c_{55}r(u_{zi}N_{ri})N_{rj} + \frac{c_{66}}{r}(u_{zi}N_{\theta i})N_{\theta j} + c_{23}(u_{\theta i}N_{\theta i})N_{zj} + \right. \\ & \left. + c_{23}(u_{ri}N_{ri})N_{zj} + c_{13}r(u_{ri}N_{ri})N_{zj} + c_{55}r(u_{ri}N_{zi})N_{zj} + c_{66}(u_{\theta i}N_{zi})N_{\theta j} \right] dz d\theta dr = 0. \end{aligned} \quad (17)$$

В (17) предполагается суммирование по парным индексам; N_i , N_{ri} , $N_{\theta i}$, N_{zi} – функции формы и их частные производные по r , θ , z . Далее при расчетах использованы

восьмиузловые и двадцатиузловые элементы в виде параллелепипедов [1]. Интегралы в (17) вычисляются методом Гаусса (трехмерные – в 27 точках, двумерные – в 9). Полученная после ансамблирования система для совокупности всех элементов была решена методом Гаусса.

3. Анализ числовых результатов.

Сначала проведем сравнение полученных результатов с данными, представленными в статье [9] для замкнутого изотропного цилиндра с размерами $L = 20$, $R = 10$, $H = 2,5$ и коэффициентом Пуассона $\nu = 0,3$. Торцы $z = 0$ и $z = L$ закреплены жестко; на внутреннюю поверхность цилиндра действует давление $q_1 = -q_0 \cos(k\theta)$. Поскольку задача симметрична, она была решена на отрезках $0 \leq z \leq L/2$, $0 \leq \theta \leq \pi$ (при $k = 0,1$), $0 \leq \theta \leq \pi/2$ (при $k = 2$). В таблице приведены значения перемещения $u_r E / q_0$ при $z = L/2$, $r = 7,5$, $\theta = 0$, полученные методами сплайн-коллокации при различном количестве точек коллокации (отрезок интегрирования при этом был разбит на 100 частей) и методом конечных элементов (8 узлов) при различном количестве элементов (элементы получены делением отрезков по r, θ, z на одно и то же число; следовательно количество элементов K_e было равно $10^3, 15^3, 20^3$). Как видно из таблицы различие результатов, полученных различными методами, составляет не более 2%.

k	$u_r E / q_0$							[9]
	Метод сплайн-коллокации				МКЭ			
	$M = N = 9$	$M = 11,$ $N = 9$	$M = N = 11$	$M = 11,$ $N = 13$	$K_e = 10^3$	$K_e = 15^3$	$K_e = 20^3$	
0	16,244	16,244	16,199	16,172	16,014	16,050	16,065	16,2
1	23,708	23,716	23,617	23,557	23,174	23,267	23,305	23,9
2	23,178	23,199	23,106	23,050	22,255	22,579	22,700	23,1

С помощью изложенных подходов определим напряженно-деформированное состояние незамкнутых цилиндров с теми же линейными размерами с жестко закрепленными торцами и краями $\theta = 0$, $\theta = \pi$ при равномерно распределенном давлении $q_1 = -q_0$. В этом случае коэффициент Пуассона $\nu = 0,4$, а модуль упругости изменяется по закону $E(r) = ar^2 + br + c$. Рассматривали такие случаи:

- 1) убывающий модуль Юнга ($E(R-H) = 2E_0$, $E(R) = E_0$, $E(R+H) = 0,5E_0$, $a = 0,04$, $b = -1,1$, $c = 8$);
- 2) возрастающий модуль Юнга ($E(R-H) = 0,5E_0$, $E(R) = E_0$, $E(R+H) = 2E_0$, $a = 0,04$, $b = -0,5$, $c = 2$).

Из соображений симметрии задача решена на области $0 \leq \theta \leq \pi/2$, $0 \leq z \leq L/2$.

На рис. 1 – 3 показаны распределения перемещений u_r при $\theta = \pi/2$, $z = L/2$, u_θ при $r = R - H$, $z = L/2$ ($\tilde{r} = \frac{r - R + H}{2H}$), u_z при $r = R - H$, $\theta = \pi/2$, линии без маркеров – результаты, полученные методом сплайн-коллокации (сплошная – спадающий модуль упругости, пунктирная – возрастающий), линии с маркерами – результаты полученные МКЭ (8 узлов) (круги – спадающий модуль упругости, треугольники – возрастающий). При расчетах методом сплайн-коллокации $M = N = 11$ и 100 точек интегрирования, при расчетах МКЭ использовано 15^3 элементов. Как видно из графиков, характер распределения перемещений совпадает для результатов, полученных разными методами, однако различия между ними все же существенны, особенно это

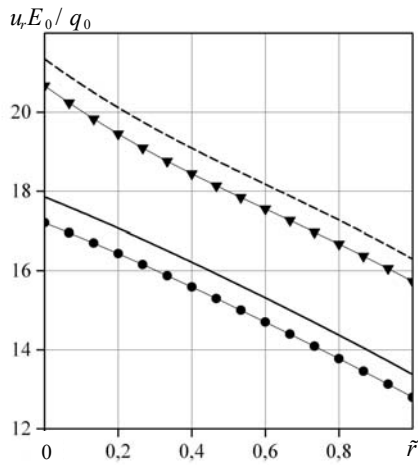


Рис. 1

относится к перемещениям u_θ и u_z . Отметим, что эта задача была решена с использованием 20-ти узловых конечных элементов, при сопоставимом с первым случаем количестве узлов. Однако результаты, полученные этим способом, практически совпадают с результатами для 8-ми узловых элементов (на графиках линии почти неотличимы и для второго случая не приведены). Интересно также было бы получить результаты с использованием элементов более высоких порядков, а также элементов, предложенных в [12]. Возможно, сгущением сеток конечных элементов и сплайнов можно получить более точное совпадение, но следует учитывать, что при этом возрастают требования к вычислительным мощностям и, очевидно, увеличивается время на решение задач.

Выводы.

Для исследования напряженно-деформированного состояния в неоднородном полом цилиндре с жестко закрепленными краями применены уравнения трехмерной теории упругости. Соответствующая задача решена методами сплайн-аппроксимации и конечных элементов. Для сведения системы дифференциальных уравнений в частных производных к системе обыкновенных дифференциальных уравнений высшего порядка для радиальной координаты использованы двумерные сплайны, одномерная задача решена с помощью метода дискретной ортогонализации. Приведено сравнение результатов, полученных методом сплайн-аппроксимации и методом конечных элементов для незамкнутого неоднородного цилиндра с возрастающим и убывающим вдоль радиальной координаты модулем упругости.

РЕЗЮМЕ. Для дослідження напружено-деформованого стану в неоднорідному порожнистому циліндрі з жорстко затиснутими краями застосовано рівняння тривимірної теорії пружності. Відповідну задачу розв'язано методами сплайн-апроксимації та скінченних елементів. Для зведення системи диференціальних рівнянь в частинних похідних до системи звичайних диференціальних рівнянь вищого порядку для радіальної координати використано двовимірні сплайни. Одновимірну

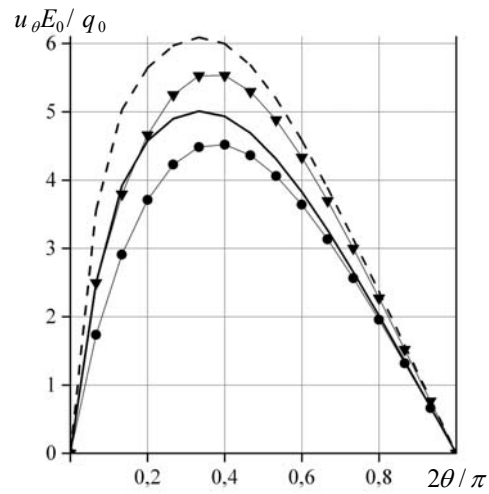


Рис. 2

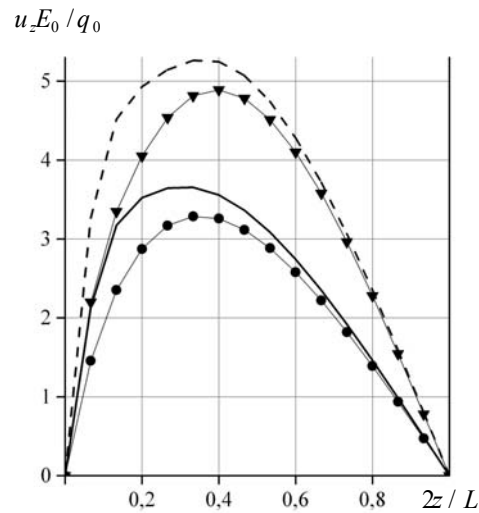


Рис. 3

задачу розв'язано за допомогою методу дискретної ортогоналізації. Наведено порівняння результатів, отриманих методом сплайн-апроксимації та методом скінченних елементів для незамкнутого неоднорідного циліндра з модулем пружності, що зростає або спадає уздовж радіальної координати.

1. *Зенкевич О.* Метод конечных элементов в технике. – М.: Мир, 1975. – 544 с.
2. *Bahri A., Salehi M., Akhlaghi M.* Three dimensional static and dynamic analyses of the functionally graded cylinder bonded to the laminated plate under general loading // *Mech. of Adv. Materials and Struct.* – 2016. – **23**, N 12. – P. 1437 – 1453.
3. *Birman V., Byrd L.W.* Modeling and analysis functionally graded materials and structures // *Appl. Mech. Reviews.* – 2009. – **60** – P. 195 – 215.
4. *Ghafoori E., Asghari M.* Three-dimensional elasticity analysis of functionally graded rotating cylinders with variable thickness profile // *Proc. of the Institution of Mechanical Engineers, Part C: J. of Mech. Engng. Sci.* – 2012 – **226**, N 3 – P. 585 – 594.
5. *Grigorenko A.Ya., Bergulev A.S., Yaremchenko S.N.* Numerical Solution of Bending Problems for Rectangular Plates // *Int. Appl. Mech.* – 2013 – **49**, N 1 – P. 81 – 94.
6. *Grigorenko A.Ya., Müller W.H., Wille R., Yaremchenko S.N.* Numerical solution of the problem of the stress-strain state in hollow cylinders using spline approximations // *J. of Math. Sci.* – 2012. – **180**, N 2. – P. 135 – 145.
7. *Grigorenko A.Ya., Yaremchenko N.P., Yaremchenko S.N.* Analysis of the Axisymmetric Stress-Strain State of a Continuously Inhomogeneous Hollow Sphere // *Int. Appl. Mech.* – 2018. – **54**, N 5. – P. 577 – 583.
8. *Grigorenko A.Ya., Yaremchenko S.N.* Analysis of the Stress-Strain State of Inhomogeneous Hollow Cylinders // *Int. Appl. Mech.* – 2016. – **52**, N 4. – P. 958 – 965.
9. *Grigorenko Ya.M., Kryukov N.N.* Use of Spline Approximation to Study Displacement and Stress Fields in Cylinders with Different Boundary Conditions on the Ends // *Int. Appl. Mech.* – 1997. – **33**, N 12. – P. 958 – 965.
10. *Grigorenko Ya.M., Rozhok L.S.* Effect of Change in the Curvature Parametares on the Stress State of Concave Corrugated Hollow Cylinders // *Int. Appl. Mech.* – 2018. – **54**, N 3. – P. 266 – 273.
11. *Grigorenko Ya.M., Rozhok L.S.* Layered Inhomogeneous Hollow Cylinders with Concave Corrugations Under Internal Pressure // *Int. Appl. Mech.* – 2018. – **54**, N 5. – P. 531 – 538.
12. *Karnaukhov V.G., Kozlov V.I., Zavgorodnii A.V., Umrykhin I.N.* Forced Resonant Vibrations and Self-Heating of Solids of Revolution Made of Viscoelastic Piezoelectric Material // *Int. Appl. Mech.* – 2015. – **51**, N 6. – P. 614 – 622.
13. *Kryukov N.N.* Solution of problems of the stressed state of thick-walled orthotropic cylindrical shells with the aid of spline functions // *Int. Appl. Mech.* – 1993. – **29**, N 7. – P. 541 – 547.
14. *Miyamoto Y., Kaysser W.A., Rabin B.H., Kawasaki A., Ford R.G.* Functionally Graded Materials, Design, Processing and Applications. – Boston: Kluwer Academic Publishers, 1999.
15. *Suresh S., Mortensen A.* Fundamentals of Functionally Graded Materials. – London: Maney, 1998. – 165 p.
16. *Woodward B., Kashtalyan M.* Three-dimensional elasticity solution for bending of transversely isotropic functionally graded plates // *European J. of Mechanics A/Solids.* – 2011. – **30**, N 5. – P. 705 – 718.

Поступила 06.06.2018

Утверждена в печать 04.06.2019